

冠状動脈バイパスグラフトの MR angiography

吉岡邦浩¹, 鎌田弘之², 広瀬敦男¹

¹岩手医科大学放射線科 ²同 第2内科

はじめに

冠状動脈バイパスグラフト (coronary artery bypass graft, CABG) 術は虚血性心疾患の外科的治療法として現在多くの症例で施行されているが、そのバイパスグラフトの開存性の評価は術後患者の経過観察のうえできわめて重要である。その評価には血管造影法が通常用いられるが、侵襲的な検査法であることや検査に伴う危険性も無視はできないことから、非侵襲的な検査法の確立が望まれている。

一方、近年急速に発展した MR angiography (MRA) は心臓・大血管領域においても非侵襲的な検査法として臨床応用されつつある。われわれは、CABG の MRA による描出も技術的に可能であることをさきに報告したが¹⁾、今回は技術的な面から臨床的な面に視点を移し、その有用性や限界および他の非侵襲的な検査法との比較について検討したので報告する。

対象と方法

対象とした症例は CABG 術後 1か月以内の 50 例（男性 35 例、女性 15 例、41～78 歳、平均 59.8 歳）で、全バイパス数は 108 本。その内訳は内胸動脈グラフト (internal mammary

artery graft, IMAG) が 57 本（左側 41 本、右側 16 本）、saphenous vein graft (SVG) が 51 本である。全ての症例で MRA の前後 3 週間以内にカテーテル法による選択的グラフト造影が施行されている。なお、胸骨ワイヤーには非磁性体のチタン製のものを用いた。

使用した装置は、GE 製 Signa-advantage (1.5 T) で、撮像には肩用の表面コイルを使用した。MRA の撮像には高速シネ MRI のソフトである FASTCARD を用いた。その pulse sequence は flow compensation を付加した fast-SPGR (TR=12.4 ms, TE=5.1 ms, FA=40°) 法で、FOV=30 cm, matrix=256×256 (長法形 FOV), slice 厚=5 mm である。これにより、16 心拍で 4-6 時相のシネ画像を吸気下の呼吸停止により得た。撮像面はグラフトが含まれる体軸横断面とし、呼吸停止の繰り返しにより 10～15 slice の連続撮影を行った。得られた各断面のシネ画像のなかから収縮中期の画像を抽出してこれらを MRA の元画像とし、reformat と multiplanar reconstruction (MPR) によりグラフトを描出した¹⁾ (Fig. 1)。

以上 の方法によって得られた MRA によるグラフトの開存性の評価を、グラフト造影を gold standard として検討した。読影は MRA、グラフト造影とともに 2 名以上の放射線科医と循環器内科医で行った。診断は MRA、グラフト造影の順番で行い、MRA の読影の際にはグ

キーワード heart, coronary artery, bypass graft, MRA

1995年度日本磁気共鳴医学会国際飛躍賞受賞論文

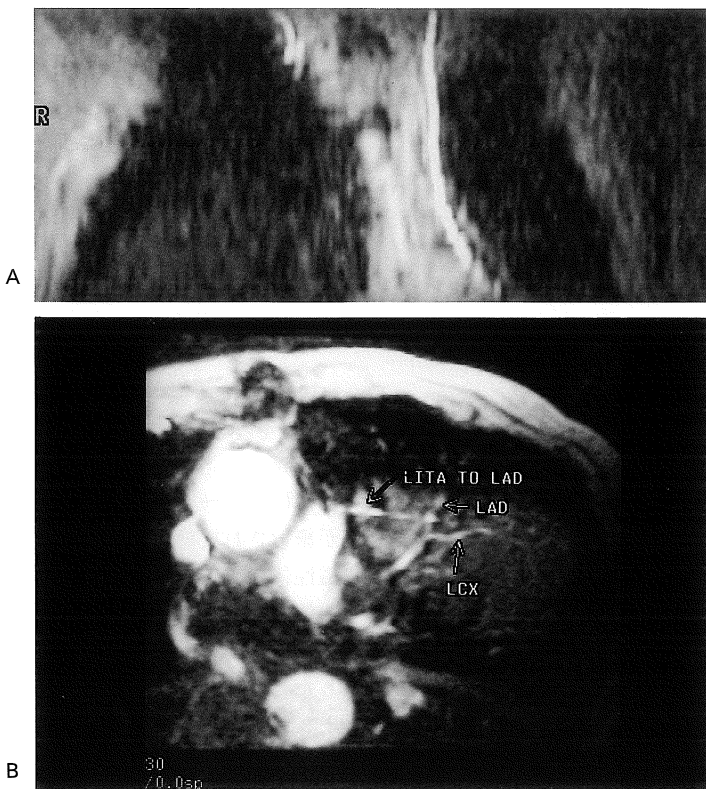


Fig. 1. Left internal mammary artery bypass graft (IMAG) to left anterior descending artery (LAD).

A. Reformatted oblique coronal image shows proximal portion of IMAG.

B. Reformatted oblique axial image shows distal portion of IMAG.

LITA=left internal thoracic artery=left internal mammary artery.

LCX=left circumflex branch.

ラフト造影の情報無しに開存性の評価を行った。判定は読影者間の合議により行い、判定が微妙な症例については読影者を増やすか、新たな読影者を募って判定した。

結果

全ての症例で良好な画像が得られ、目的とするグラフトも明瞭に描出された。しかし、グラフトと冠状動脈との吻合部が鮮明に描出された

ものは108本中22本(20%)にとどまった。

1) IMAG (57本)における結果 (Table 1)

グラフト造影では53本の開存と4本の閉塞が確認された。MRAでも、53本のグラフトの開存と4本の閉塞が認められた (sensitivity=100%, specificity=100%)。開存としたグラフトのうちの1本に動脈解離による狭窄が見られたが、MRAでは原因の特定はできなかったが狭窄の描出は可能であった。

2) SVG (51本)における結果 (Table 1)

1996年11月21日受稿 1996年12月19日改訂

別刷請求先 〒020 岩手県盛岡市内丸19-1 岩手医科大学医学部放射線科 吉岡邦浩

Table 1. Results

IMAG			SVG			All grafts		
Angio. MRA	Patent	Occusion	Angio. MRA	Patent	Occusion	Angio. MRA	Patent	Occusion
Patent	53*	0	Patent	37*	2	Patent	90*	2
Occlusion	0	4	Occlusion	2	10	Occlusion	2	14

* including 1 stenosis
 sensitivity=100%
 specificity=100%

* including 4 stenoses
 sensitivity=95%
 specificity=83%

* including 5 stenoses
 sensitivity=98%
 specificity=88%

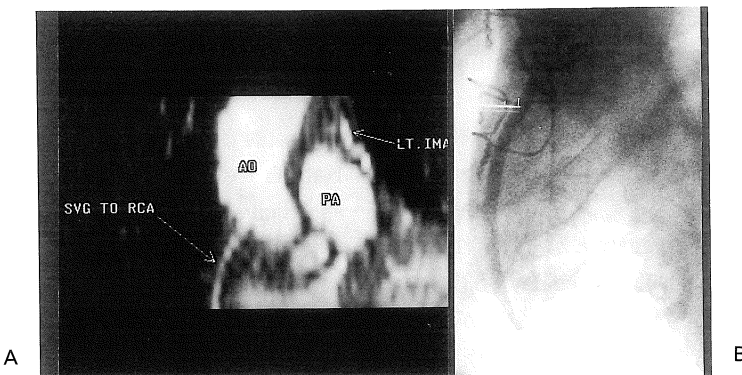


Fig. 2. Patent saphenous vein graft (SVG) to right coronary artery (RCA).

A. Reformatted oblique image shows SVG to RCA. AO=aorta, PA=pulmonary artery.

B. Conventional angiography of SVG.

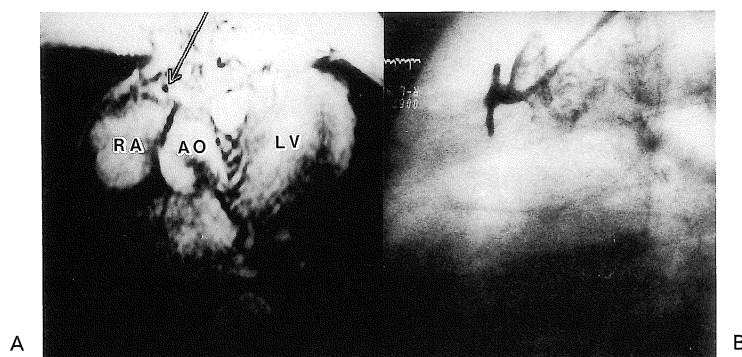


Fig. 3. Occluded saphenous vein graft (SVG) to right coronary artery.

A. Axial image shows occluded SVG (arrow). AO=aorta, LV=left ventricle, RA=right atrium

B. Conventional angiography of SVG.

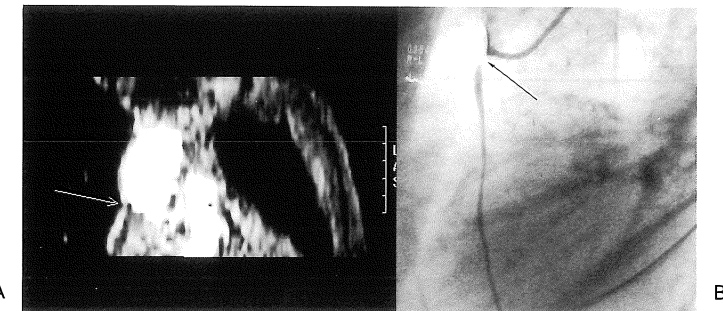


Fig. 4. Patent saphenous vein graft (SVG) to right coronary artery with stenosis.

A. Reformatted oblique coronal image shows graft stenosis at proximal portion of the SVG (arrow).

B. Conventional angiography also shows the stenosis (arrow).

グラフト造影では39本の開存と12本の閉塞が確認された。MRAでは、39本を開存(Fig. 2), 12本を閉塞(Fig. 3)と判断したが、false positiveとfalse negativeがそれぞれ2本存在した(sensitivity=95%, specificity=83%)。開存としたグラフトのうち4本に狭窄が見られたが、MRAでも4本ともに狭窄を同定できた(Fig. 4)。

3) 全てのグラフトでの結果 (Table 1)

108本の全てのグラフトについてのsensitivityは98%, specificityは88%であった。

考 察

CABGの開存性の評価を非侵襲的な方法で行おうとする試みは従来よりCTやMRIを用いてなされている。虚血性心疾患でCABGが施行された患者は、術前の冠状動脈造影や手術など数々の侵襲を受けており、術後にグラフトの開存性の評価のための血管造影を施行することはさらに苦痛を強いることとなる。このことから、非侵襲的で正確な評価が可能な検査法の確立が望まれている。また、外来でも施行可能であれば長期間にわたる経過観察にもきわめて有用と考えられる。

CTでの評価で比較的に多くのグラフトにつ

いて検討されたものとしては、Danielら²⁾とKahlら³⁾の報告があるが、sensitivityとspecificityはそれぞれ91%, 88%および82%, 69%であったとされている。なお、これらの報告にはIMAGについての記載は無く、SVGについての成績と思われる。現在はSVGよりも遠隔期での開存性に優れるIMAGが使用される傾向にあるが、SVGの径は3~6mmであるのに対しIMAGの径は2~4mmと細いためこれらの成績をIMAGでも得られるとは考えにくい。また、CTの欠点としてはスキャン時間が長いため拍動によるアーチファクトが混入しやすい点や、比較的に多量の造影剤の使用が必要な点、胸骨ワイヤーからのアーチファクトの混入で画質が劣化する点などがあげられ⁴⁾、一般的に使用するにいたっていない。

超高速CTを用いた評価で比較的に多くのグラフトについて検討されたものとしては、127本(うちIMAGが11本)のグラフトについて述べたStanfordらの報告⁵⁾と80本のグラフトを検討したBatemanらの報告⁶⁾がある。これらのsensitivityとspecificityはそれぞれ、93%と89%および96%と97%であり、良好な成績が示されている。しかし、これらでも対象とされたIMAGが少数であり、主にSVGにおける成績と考えられる。また、これらは体

格的に縦隔の脂肪に富む欧米人での成績であり、この報告を日本人に適応することは妥当とは言い難い。現に浜田らは 21 本の IMAG について検討しその sensitivity を 66.7% と報告している⁷⁾。一方、我々が試みた MRA では、表面コイルを前胸壁に置いて撮像しているので IMAG とコイルが近接し、その信号を補足し易い利点がある。このため IMAG については sensitivity, specificity ともに 100% と良好な結果が得られたと思われる。

MRI での評価で比較的に多数のグラフトについて検討されたものでは、スピノエコー法を用いた White らの報告⁸⁾とシネ MRI を用いて検討した Aurigemma らの報告⁹⁾がある。これらの sensitivity と specificity はそれぞれ、91% と 72%, 88% と 100% であり、シネ MRI で良好な結果が示されている。しかし、これは 1 断面での評価でありグラフトを長い範囲で観察することや、グラフト狭窄を描出できない欠点がある。狭窄の描出が不可能なことは CT や超高速 CT およびスピノエコーを用いた MRI でも同様である。この点に関しても狭窄病変の描出が可能な MRA の有用性が高いと思われる。

グラフト狭窄の評価が可能な非侵襲的検査法としてらせん CT を用いた方法が報告されている¹⁰⁾。これはらせん CT で得られたボリュームデータからレンダリング法を用いて 3 次元画像を構築するもので、グラフトの走行を長い範囲にわたり立体的に描出されている。しかしグラフト狭窄については、3 次元画像による直接的な描出ではなく、グラフト内腔の造影剤増強効果の遅延により判定されている。これは、レンダリング法で画像を構築する際には閾値処理が必要とされるが、増強効果の遅延があるとグラフトの CT 値が設定閾値以下となり描出が困難なためと推察される。MRA は狭窄を直接的に描出可能である点でらせん CT に優ると思われる。

MRA の欠点としては、グラフトと冠状動脈

の吻合部の描出が必ずしも十分でない点と、複雑な走行をするグラフトは 1 画面上に描出できない点が上げられる¹⁾。前者については、より高感度のコイルの使用や、より短時間で高空間分解能の画像が得られるようなハードとソフト両面での改善が必要と思われる。後者では、選択領域 MIP (maximum intensity projection) 法やらせん CT で用いられているような 3 次元表現法を取り入れる等のさらなる工夫が必要と思われる。

結 語

108 本の CABG に対し MRA を施行しその開存性の評価について血管造影を gold standard して検討した。その結果、sensitivity は 98%, specificity は 88% と従来の非侵襲的検査法と比較して良好な成績が得られた。本法は、今後増加が予測される IMAG で特に成績がよい点と、グラフト狭窄を直接描出可能な点で有用性が高いと考えられた。

本研究の要旨は第 81 回北米放射線学会 (RSNA '95) で発表した。

本研究に多大なる御協力をいただいた本学第 2 内科の平盛勝彦教授、第 3 外科の川副浩平教授および両教室の諸先生方に深謝いたします。

文 献

- 1) 吉岡邦浩, 鎌田弘之, 内山 尚, 他 : 高速シネ MRI を用いた冠状動脈バイパスグラフトの MR Angiography. 日磁医誌, 15 : 50-54, 1995.
- 2) Daniel WG, Dohring W, Stender HS, Lichtlen PR : Value and limitations of computed tomography in assessing aortocoronary bypass patency. Circulation, 67 : 983-987, 1983.
- 3) Kahl FR, Wolfman NT, Watts LE : Evaluation of aortocoronary bypass graft status by computed tomography. Am J Cardiol, 48 : 304-310, 1981.

- 4) Stanford W, Galvin RG, Skorton DJ, Marcus M : The evaluation of coronary bypass graft patency ; direct and in direct techniques other than coronary arteriography. AJR, 156 : 15-22, 1991.
- 5) Stanford W, Brundage BH, MacMillan R, et al. : Sensitivity and specificity of assessing coronary bypass graft with ultrafast computed tomography ; results of a multicenter study. J Am Coll Cardiol, 12 : 1-7, 1988.
- 6) Bateman TM, Gray RJ, Whiting JS, et al. : Prospective evaluation of ultrafast cardiac computed tomography for determination of coronary bypass graft patency. Circulation, 75 : 1018-1024, 1987.
- 7) 浜田星紀, 高宮 誠, 笹子佳門 : 超高速 CT を用いた冠動脈大動脈バイパスグラフト術後評価 ; IVDSC との比較. 画像医学誌, 12 : 32-41, 1993.
- 8) White RD, Caputo GR, Mark AS, et al. : Coronary artery bypass graft patency ; noninvasive evaluation with MR imaging. Radiology, 164 : 681-686, 1987.
- 9) Aurigemma GP, Reichek N, Axel L, et al. : Noninvasive determination of coronary artery bypass graft patency by cine magnetic resonance imaging. Circulation, 80 : 1595-1602, 1989.
- 10) Tello R, Costello P, Ecker C, Hartnell G : Spiral CT evaluation of coronary artery bypass graft patency. J Comput Assist Tomogr, 17 : 253-259.

MR Angiography of Coronary Artery Bypass Grafts

Kunihiro YOSHIOKA¹, Hiroyuki KAMATA², Atsuo HIROSE¹

¹Department of Radiology and ²2nd Department of Internal Medicine,
Iwate Medical University
19-1 Uchimaru, Morioka, Iwate 020

The purpose of this study is to assess the value of MR angiography in the evaluation of the patency of coronary artery bypass grafts (CABGs). Fifty consecutive patients with a total of 108 CABGs underwent breath-hold MR angiography and conventional arteriography. Fifty-seven of the CABGs were internal mammary artery grafts (IMAGs), and 51 were saphenous vein grafts (SVGs). With conventional arteriography used as the standard of reference, MR angiography was found to depict patency in all 53 IMAGs (sensitivity 100%) and 4 occluded IMAGs (specificity 100%), in 37 of 39 SVGs (sensitivity 95%) and occluded 10 of 12 SVGs (specificity 83%). The overall graft patency was 98% sensitivity and 88% specificity. Graft stenoses were also clearly demonstrated in 5 cases. This study suggests that MR angiography is a useful, noninvasive technique to evaluate the patency of CABGs.